

電力中央研究所 正員 〇伊藤千浩
電力中央研究所 正員 大沼博志

1.はじめに

著者らは衝撃荷重に対する鉄筋コンクリート構造物の挙動を明らかにし、これら構造物の衝撃荷重に対する安全余裕度を検証するため、これまでに鉄筋コンクリート製の梁、平板、半球ドームモデルを用いて衝撃実験を行ってきた。構造物が飛来物の衝突により衝撃荷重を受ける場合、その応答は飛来物の質量、衝突速度、剛性、形状等によって大きく異なるため衝撃応答を明らかにすることは、たしかに困難なものとなっている。この様な衝撃に対する構造物の応答については各所で研究が行われているが、鉄筋コンクリートの衝撃応答に関する研究は少なく、実験、計測方法の困難さなどもあり鉄筋コンクリートの衝撃応答については、いまだ解明されていない点が多く残されている。

本報告は上記の実験に引き続き鉄筋コンクリート製の円筒シェルを用いた衝撃実験を行い、曲率をもつ構造物の衝撃応答について検討したものである。

2. 実験

2.1 衝撃荷重載荷装置

実験装置の概略を図-1に示す。載荷方法は圧縮N₂ガスにより、ハンマーを試験体に所定の速度で衝突させて行なう。衝突速度はガス圧によって調整し、光電管式速度計によて計測する。ハンマーは鋼製の内径(Φ 9.8 mm)で、重量は70kgである。

2.2 試験体

実験に用いた鉄筋コンクリート製円筒シェルの概略図、配筋図を図-2に示す。試験体は同一形状のものを2本製作し、図-3に示すように積置きにし軸方向中央部に60mm隔で衝撲荷重を加え実験を行った。ただし、鉄筋ひずみの測定は、図中に示した実験時のみを行い、他の実験では貫入量のみを測定した。また、載荷時における供試体の移動やねじりを防止するために円筒の両端をナイロン製のバンドで固定した。

2.3 計測

衝突速度は、2.1で述べたように光電管式速度計によて計測した。また、衝撲荷重はハンマー中央部に取りつけたロードセルとハンマー側面部に貼付したひずみゲージより得られる動的ひずみにより求めた。その他、鉄筋とコンクリートの表面にひずみゲージを貼付し衝撲によって発生するひずみをDCアンプを介してデータレコーダーに記録した。これらのデータは、ウェーブメモリーによてAD変換し、シンクロスコープや電磁オシログラフによて再生してデータの解析を行った。また、これらの動的応答の他に実験後貫入量の測定や衝撲によって発生したフラックの記録を行った。

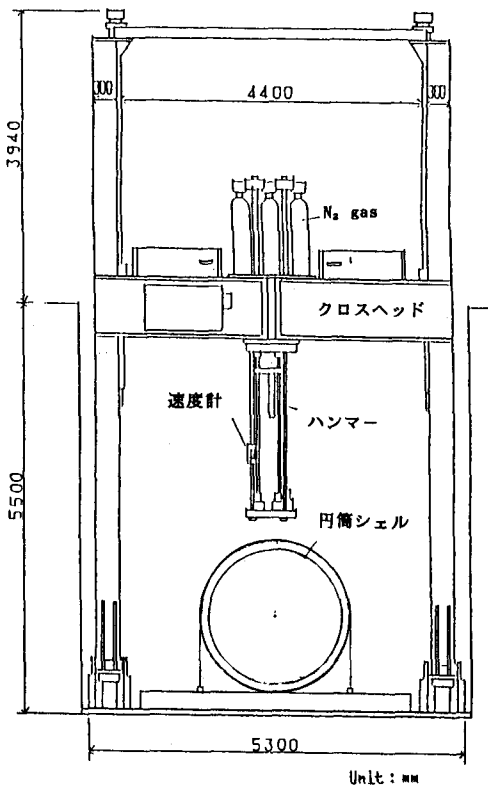


図-1 衝撲荷重載荷装置 (Moderate speed gun)

3. 実験結果

図-4に衝撃実験後(衝突速度: 12.9%)の円筒シェル衝突部付近の破壊状態を示す。衝突面では放射状のひびわれとハンマーによる貫入が生じている。

このときの貫入量は約3cmであった。また、数本の鉄筋バハンマーによって切断されていった。一方、裏面には衝撃応答に特有なスキヤビング(裏面剥離)が生じ、コンクリートが積み重ねにはれ落ち、その長径は約50cmとなっていた。

図-5に衝突速度と貫入量との関係を示す。図中SLABとあるのは、当所で行なった鉄筋コンクリート製平板(板厚: 10cm)の衝撃実験結果である。この図より貫入量は衝突速度の2乗に比例していることわかる。また、円筒シェルの実験結果は同じ板厚をもつ平板の実験結果とほぼ一致しており、本実験の範囲内では円筒の肉率の影響はみられなかった。

4 おわりに

現在、コンクリート構造物の耐衝撃性を検討するためによく用いられている種々の評価式は、スラブに対して適用されているものであるが、本実験の範囲内では円筒シェルの衝撃応答は平板の実験結果とほぼ一致するものであった。したがって、円筒のような曲率をもつ構造物の耐衝撃性についても、鉄筋コンクリートスラブに対する各種の評価式を適用することができますものと考えられる。

最後に、本研究にあたり日本大学教授 能町純雄氏、室蘭工業大学助教授 岸徳光氏より貴重な御助言を賜ったことを記し感謝の意を表する。

参考文献

- 1) 伊藤、大沼、佐藤、高野: 衝撃荷重に対する鉄筋コンクリート梁部材の挙動—昭和58年度土木学会年次学術講演会概要集
- 2) 大沼、伊藤、岸、能町: 鉄筋コンクリートスラブの衝撃応答特性について 第6回コンクリート工学平次講演会講論文
- 3) 中速度衝撃荷重に対する鉄筋コンクリート半球ドームの衝撃応答—第59年度土木学会年次学術講演会概要集
- 4) R.P.Kennedy, "A Review of Procedures for the Analysis and Design of Concrete Structures to Resist Missile Impact Effects, Nuclear Engineering & Design 37 (1976)

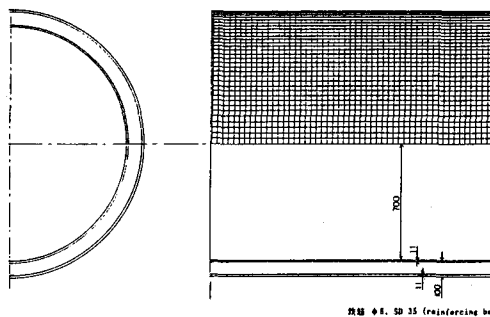


図-2 RC 円筒シェル配筋図

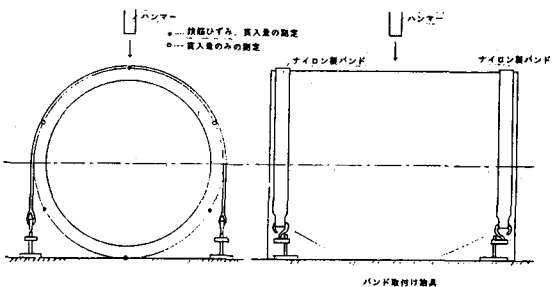


図-3 RC 円筒シェルの実験

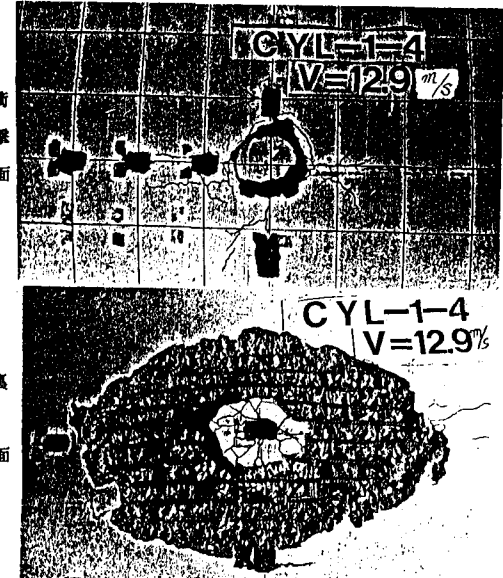


図-4 破壊状態

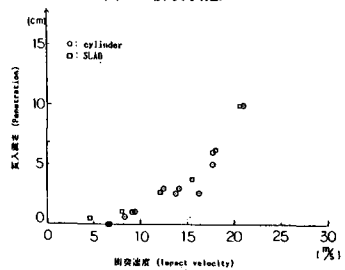


図-5 貫入深さと衝突速度